

برآورد میزان انتشار آلاینده‌های ذره‌بی در اثر بادبردگی از پشت‌های سنگ‌آهن صنایع فولاد

نیما افشار‌مهاجر (کارشناس ارشد)
دانشکده مهندسی عمران، دانشگاه صنعتی شریف

ایوب ترکیان (دانشیار)
استپو آب و ارز، دانشگاه صنعتی شریف

در این تحقیق با استفاده از شبیه‌سازی آزمایشگاهی میزان انتشار و شعاع تأثیر ذرات و نیز اثر مروط‌سازی بر کاهش بادبردگی پشت‌های سنگ‌آهن مورد بررسی قرار گرفت. با استفاده از توزیل باد، میزان انتشار ذرات پشت‌های از نوع سنگ‌آهن گل‌گهر — شامل ۶۵٪ همایت و به صورت منشوری به طول ۳۰، عرض ۱۱/۵ و ارتفاع ۵ سانتی‌متر — در چهار سرعت مختلف باد (۴، ۵، ۷ و ۱۱ متر بر ثانیه) اندازگیری شد. با استفاده از مشاهدات میکروسکوپ نوری و الکترونی، قطر و جرم ذرات منتشره در فاصله‌های مختلف از پشت‌های بردگی شد. همچنین با تغییر درصد رطوبت سطح پشت‌های در محدوده ۲ تا ۱۰ درصد، میزان کاهش بادبردگی ذرات برآورد شد. در پایان نتایج تجربی به دست آمده با برخی روابط کلاسیک موجود مقایسه و مقادیر معادل برخی تعاریف، تغییر سرعت اصطکاکی، تعیین شد. نتایج به دست آمده حاکی از آن است که ذرات با قطر بزرگ‌تر از $75\mu m$ تطاوی بهتری را بین دو حالت نظری و تجربی از خود نشان می‌دهند. همچنین مسافت طی شده و میزان بادبردگی ذرات ارتباط خطی با سرعت وزش باد دارد. ضریب انتشار برای سرعت‌های ۴، ۵، ۷ و ۱۱ متر بر ثانیه به ترتیب معادل ۴۷۸، ۱۵۲۷، ۱۵۱۵ و ۴۴۱۰ گرم بر مترمربع به دست آمد. «مرطوب‌سازی سطح پشت» روش مناسبی برای کاهش میزان بادبردگی در این تحقیق ارزیابی شد، به طوری که جرم ذرات بادبرده در رطوبت سطح ۱۰٪ و ۲٪ به ترتیب ۷۸٪ و ۴۵٪ کاهش نشان داد.

واژگان کلیدی: آلودگی هوا، انتشار ذرات، پشت‌های سنگ‌آهن، بادبردگی ذرات، مرطوب‌سازی پشت.

n.afshar@ufl.edu
torkian@sharif.edu

۱. مقدمه

انجام شده‌ی قیلی در ارتباط با پتانسیل آلودگی زلی این صنایع، بر آلاینده‌های منتشره از منابع کانونی مانند دودکش‌ها تأکید شده و منابع غیرکانونی کمتر مورد توجه قرار گرفته‌اند. مواردی چون سرعت و جهت باد، دانه‌بندی ذرات، ارتفاع و مساحت پشت، درصد رطوبت هوا و رطوبت سطح پشت از جمله عوامل مؤثر بر «بادبردگی ذرات» هستند. بادبردگی ذرات را می‌توان در سه حالت حرکتی تبیین کرد. با توجه به سرعت باد اعمال شده به ذرات دارای توزیع اندازه و چگالی مختلف، حرکت ذرات ابتدا با غلظیدن^۱ آغاز می‌شود و سپس با افزایش تنفس واردۀ از طرف جریان با جهشی ناگهانی^۲ از سطح بلند شده در فاصله‌ی دورتر می‌نشینند.^[۱] جهش ناگهانی ذرات با وقوع بادبردگی عادی و برای ذرات ریز تا متوسط صورت می‌گیرد. حرکت ذرات ریزتر در مود سوم به صورت تعليق^۳ در هوا بروز می‌کند و تا فواصل دورتری منتشر شده و محاسبه‌ی مسافت و زمان به سطح نشستن آنها بسیار پیچیده است.^[۲] از آنجا که انتقال ذرات در حالت‌های دوم و سوم حرکتی باعث آلودگی

به طور کلی می‌توان منابع آلاینده‌ی صنعتی را در قالب دو گروه کانونی و غیرکانونی دسته‌بندی کرد. منابع کانونی به صورت نقطه‌ی (دودکش) یا خطی (بزرگراه)، و منابع غیرکانونی (نشست از اتصالات) به صورت سطحی بررسی می‌شوند. به همین دلیل روش‌های برآورد، مدل انتشار و کنترل آلودگی منابع غیرکانونی پیچیده‌تر است.^[۱]

پشت‌های انباست سنگ‌آهن، که به عنوان مواد خام فرایندهای پایین دستی تلقی می‌شوند، از جمله منابع غیرکانونی مجتمع‌های فولاد می‌باشند. انتشار ذرات از این پشت‌هایها برای وزش باد، در مدت ذخیره و انباست آنها و نیز به هنگام تخلیه و برداشت شان و انتقال به واحدهای فرایندی از طریق نوارهای نقاله، نه تنها به آلودگی هوا و آسیب‌های زیست‌محیطی به مناطق مجاور می‌انجامد بلکه سبب هدر رفتن بخشی از مواد اولیه شده و ضررهای اقتصادی به دنبال دارد. در اغلب ارزیابی‌های

۲. مواد و روش‌ها

در این تحقیق با استفاده از سیستمی برای تولید باد بر پشتۀ سنگ آهن با ابعاد هندسی مشخص، وزن و قطر معادل ذرات با دربرده در سرعت‌های مختلف باد، و نیز تأثیر افزایش رطوبت سطحی بر باد بردن پشتۀ مورد بررسی قرار گرفت.

۲.۱. سیستم تولید باد

برای وزش باد بر پشتۀ‌ها، از سیستم تولید باد استفاده شد (شکل ۱). بیشینه دبی خروجی از فن $150 \text{ m}^3/\text{hr}$ بود که با اضافه شدن کانالی با مقطع دایره‌ی به طول ۱ m و قطر ۴۰ cm، در نهایت جریان آشفته‌ی ایجاد شده توسط فن به جریان باد یکنواختی در پایان این مسیر ۲ متری تبدیل می‌شد. همچنین در جلوی کanal خروجی، میزی به عرض ۱ m و به طول متغیر حدود $3/5 \text{ m}$ قرار گرفت و پشتۀ سنگ آهن و ظروف جمع‌آوری ذرات در جلوی آن قرار داده شدند.

۲.۲. پشتۀ و محدوده‌ی انتشار

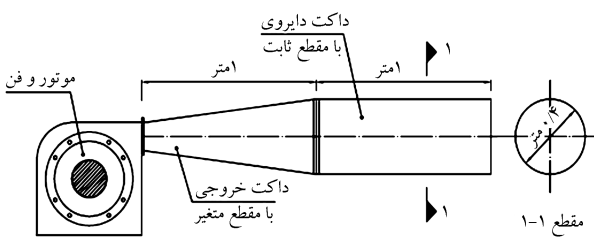
پشتۀ سنگ آهن در کلیه‌ی آزمایش‌های انجام گرفته به صورت منشوری افقی به طول ۳۰، ارتفاع ۵ و قاعده‌ی به عرض $1/5$ سانتی‌متر در نظر گرفته شد که با توجه به ارتفاع حدوداً ۵ متری پشتۀ در واحد انباست و برداشت مجمع‌تم فولاد، مقیاس سینماتیک مدل را می‌توان به طور تقریبی ۱ به 100 در نظر گرفت.

در فاصله‌ی حدوداً ۲۰ سانتی‌متری، ظروف سبک و پلاستیکی لبه‌دار برای جمع‌آوری ذرات با دربرده در نظر گرفته شد. برای کلیه‌ی آزمایش‌ها تعداد ۶۰ در نظر گرفته شد که در ۱۵ ردیف ۴ تایی قرار گرفتند. برای جلوگیری از مشکل بلندشدن این ظروف سبک در حین انجام آزمایش، ظروف با استفاده از چسب نواری به میز متصل شدند.

۳. سنگ آهن

در این تحقیق سنگ آهن معدن گل‌گهر مورد استفاده قرار گرفت. درصد ترکیبات مختلف موجود در نمونه‌ی سنگ آهن که با انجام آزمایش (XRF)^۶ تعیین شده، در جدول ۱ آورده شده است.

چگالی ذرات سنگ آهن، با روش افروزن نمونه‌ی ذرات با وزن معلوم به استوانه‌ی مدرج پر از آب و مشاهده‌ی تغییر حجم سطح آب در دو حالت قبل و بعد از اضافه شدن نمونه، معادل $4515/4 \text{ kg/m}^3$ به دست آمد. از دو نمونه‌ی سنگ آهن با میکروسکوپ نوری عکس برداری شد. با توجه به ضرایب بزرگ‌نمایی عدسی میکروسکوپ (۱۰۰ برابر) و بزرگ‌نمایی هنگام ظهور عکس‌ها (۱/۳ برابر)، تصاویر با خانه‌های مربعی با فاصله‌های $5/5 \text{ cm}$ شیشه‌بندی شد، و با در نظر گرفتن تعداد خانه‌های اشغال شده توسط هر ذره، قطر معادل آن ذره محاسبه و متوسط قطر ذرات



شکل ۱. نمای سیستم تولیدکننده‌ی باد و خروجی آن.

هوا می‌شود، در این تحقیق سعی بر آن است تا جدایش یکباره‌ی ذرات از سطح پشتۀ بررسی، و صرفاً درستی نتایج درباره‌ی ذرات معلق در هوا صحبت‌سنجی شود.

در سال ۱۹۴۱، ونکارمن برمبنای تحقیقات کلاسیک پیشین، مدت زمان به زمین رسیدن ذرات خاک جداسده از سطح بر اثر وزش باد را تخمین زد. او با استفاده از قانون استوکس و با در نظر گرفتن تأثیر آشفتگی جریان با ضریب تبدیل E ، رابطه‌ی بی را برای مسافت جابه‌جاشده‌ی آن ارائه داد:^۷

$$l = \frac{40 E \mu^* u}{\rho^* g^* d_s}$$

در این رابطه، u سرعت متوسط باد، d_s قطر ذره مورد نظر، μ گران روی (ویسکوزیته) جریان، g شتاب ثقل، ρ اختلاف چگالی ذره و سیال، و E ضریب تبدیل است که معمولاً در بازه $10^5 \text{ cm}^3/\text{s} < E < 10^6 \text{ cm}^3/\text{s}$ قرار می‌گیرد.

در سال ۱۹۷۳، در تحقیقی که به سفارش سازمان هوا و فضای آمریکا (ناسا) و با همکاری گروه تحقیقاتی داشکاگاه ایالتی آیوا در مورد شبیه‌سازی فرایندهای بادی در سیاره‌ی مریخ صورت گرفت، با کمک تولید باد ذرات با چگالی مخصوص بین ۱/۳ تا ۱/۱۱ و اندازه‌ی ۱۰ تا ۱۳۵۰ میکرون مورد مطالعه قرار گرفت^۸ و رابطه‌ی کلاسیک بگنالد برای محاسبه‌ی سرعت اصطکاکی آستانه‌ی آنها بررسی شد.

$$u_t^* = A \sqrt{\frac{\rho_p - \rho_a}{\rho_a} gd}$$

نتیجه‌ی این تحقیق دست‌یابی به رابطه‌ی برای محاسبه‌ی A در رابطه‌ی سرعت اصطکاکی بود:^۹

$$A = \frac{0,373}{\sqrt{\frac{\rho_p \cdot g \cdot d_p}{\rho_a} \times (1 + \frac{C_1}{9,6} (\frac{u}{u^*})^2)^{-1}}}$$

در سال ۲۰۰۶، محققین دو نمونه پشتۀ با شکل‌های مخروطی^{۱۰} و تخم مرغی^{۱۱} را به روش CFD مدل‌سازی کرده و اثربارده‌ی گردگی را بر آنها مورد بررسی قرار دادند.^{۱۲} پشتۀ‌ها با ارتفاع ۱۱ m و با شبکه‌ی کارهای ۳۷ درجه بوده و با دسنج برای اندازه‌گیری سرعت باد در ارتفاع ۱۰ متری از سطح پشتۀ و فرض ارتفاع زیری آبودینامیکی $0,5 \text{ cm}$ در نظر گرفته شدند. محققین در این مطالعه دریافتند که سرعت اصطکاکی در نواحی مختلف پشتۀ یکسان نیست و پتانسیل باد بردن گذگی در این نواحی متفاوت است. بدین ترتیب در صورت آگاهی از طول زیری آبودینامیکی، توزیع سرعت اصطکاکی در نقاط مختلف این پشتۀ‌ها به دست خواهد آمد.^{۱۳}

در تحقیقی در سال ۲۰۰۵، که با شبیه‌سازی تولید باد انجام گرفت، طول زیری آبودینامیکی برای بررسی اثرات باد بردن گذگی بر زمین‌های زراعی محاسبه شد.^{۱۴} در این تحقیق که دنباله‌ی مطالعات هاگن و آرمبراست (۱۹۹۲) بود، نشان داده شد که زیری آبودینامیکی پشتۀ‌های مدل شده در تولید باد تابعی از ارتفاع پشتۀ و فاصله‌ی پشتۀ‌ها از یکدیگر است. این بررسی‌ها نشان داد که ارتفاع زیری آبودینامیکی در پشتۀ‌های با ارتفاع $5/7 \text{ cm}$ که در فاصله‌ی ۱۶ سانتی‌متری از یکدیگر قرار دارند، برابر با $1,58 \text{ cm}$ است.^{۱۵}

در تحقیق حاضر سعی بر آن است تا میزان و فاصله‌ی انتشار ذرات در شرایط مختلف محیطی (از جمله سرعت باد و رطوبت هوا) و ویژگی‌های موجود یا حاصل از پشتۀ‌ها (مانند رطوبت، چگالی، ترکیب شیمیایی، توزیع اندازه، و پارامترهای نظری سرعت اصطکاکی و سرعت اصطکاکی آستانه) محاسبه و تحلیل شوند.

انجام گرفت. از آنجا که آب پاش مورد استفاده قادر به ایجاد دایری به قطر مساوی با فاصله‌ی خروجی آب پاش تا سطح مقابل خود را داشت، با تغییر فاصله‌ی آن تا سطح پشته سعی شد در حد امکان رطوبت نقاط مختلف سطح پشته یکسان شود. پس از ساخت پشته در این آزمایش، برای تأمین سرعت باد ۱۱ متر بر ثانیه (بیشینه سرعت باد)، پشته در فاصله‌ی ۹۰ سانتی‌متری از لبه‌ی کanal قرار گرفت و فن برای مدت زمان ۳۰ دقیقه روشن شد. در پایان وزن لایه‌ی بالایی پشته (قسمت بالای نایلون و پارچه) اندازه‌گیری، و با مقادیر قبل از آزمایش مقایسه شد. این مرحله از آزمایش‌های بادبرده‌ی در مدت زمان ۳۰ دقیقه و با درصد رطوبت‌های ۴،۲ و ۱۰٪ صورت گرفت.

۷.۲ سرعت اصطکاکی

سرعت اصطکاکی آستانه‌ی بادبرده‌ی با استفاده از رابطه‌ی بگنالد به دست آمد:

$$u_t^* = A \sqrt{\frac{\rho_p - \rho_a}{\rho_a} gd}$$

با درنظر گرفتن قطر متوسط ذرات معادل ($33\mu\text{m}$) و ارتفاع زبری آزادینامیکی معادل 5mm ، مقدار A برابر با 36° و درنتیجه سرعت اصطکاکی آستانه/ $\text{s}/0,39$ حاصل می‌شود.

۳. نتایج و بحث

۱. ذرات منتشره

با توجه به نتایج به دست آمده از آزمایش‌های انجام گرفته، (جدول ۲) نمودار جرم کل ذرات بادبرده در برابر سرعت باد به صورت شکل ۲ به دست می‌آید. این نمودار نشان می‌دهد که با ضریب همبستگی بالا، این ارتباط خطی است. همچنین نمودار جرم ذرات بادبرده در سرعت‌های مختلف باد و قطر ذرات در فواصل مختلف از مرکز پشته به ترتیب در قالب شکل ۳ و ۴ آورده شده‌اند.

همان‌طور که در ۴ نمودار رسم شده در شکل ۴ دیده می‌شود، جرم کل ذرات بادبرده که سطح زیر نمودار می‌تواند معیاری برای آن باشد، با افزایش سرعت افزایش می‌یابد. همچنین در فاصله‌ی نسبی دور از پشته، با افزایش سرعت باد جرم ذرات بادبرده زیادتر شده است. در آزمایش دوم برای ذرات با فاصله‌ی کم نسبت به پشته مقادیر جرم بادبرده زیاد (حدوداً چهار برابر حالت متناظر آزمایش اول) است که منطقی به نظر نمی‌رسد.

مطابق انتظار، جرم ذرات بادبرده برآثر افزایش فاصله از مرکز پشته کاهش می‌یابد. ذرات در فاصله‌های بیشتر قطر کمتری دارند؛ حجم کره (یا کره‌ی معادل) ذرات با توان ۳ قطر متناسب است. با فرض یکنواختی ترکیب و چگالی، جرم ذرات سقوط کرده

جدول ۲. مقدار کل ذرات بادبرده در آزمایش‌های انجام گرفته.

سرعت (متر بر ثانیه)	مقدار کل ذرات بادبرده (گرم)
۴,۳	۲۱,۸۳۶
۵	۶۹,۸۲۵
۷	۱۰۵,۸۶۰
۱۱	۲۰۱,۶۱۸

جدول ۱. نتایج تحلیل شیمیابی سنگ آهن گل‌گهر.

ترکیب	درصد (%)	ترکیب	درصد (%)
Na_2O	۶۱,۰۸	Fe_2O_3	۰,۲
P_2O_5	۲۵,۴۷	FeO	۰,۱۴
V_2O_5	۴,۹۸	MgO	۰,۰۸
TiO_2	۴,۸۷	SiO_2	۰,۰۷
MnO	۰,۸۹	Al_2O_3	۰,۰۳
K_2O	۰,۸۱	CaO	۰,۰۳
سایر ترکیبات	۰,۶۱	S	۰,۶۵

$33\mu\text{m}$ به دست آمد. همچنین با تهیه و آماده‌سازی دو نمونه‌ی تصادفی از سنگ آهن، با استفاده از میکروسکوپ‌های الکترونی (SEM) ^۷ و (TEM) ^۸ اندازه و شکل ذرات بررسی شد.

۴.۲ سرعت جریان

بیشینه سرعت باد واحد انباست و برداشت با بررسی دامنه‌ی باد غالباً در عمدۀی مناطق استقرار صنایع فولاد و باکمک اطلاعات هواشناسی ایستگاه هواشناسی حدود 11 m/s به دست آمد. برای اندازه‌گیری سرعت جریان خروجی (در نزدیکی سطح پشته) از دستگاه سرعت سنج جریان عبوری از دودکش‌ها استفاده شد. این دستگاه (KIMO VT^{۱۰۰}) پس از کالیبره شدن، امکان اندازه‌گیری سرعت با دقت دهم متر بر ثانیه را فراهم کرد.

۵.۲ بادبرده‌گی

آزمایش‌های بادبرده‌گی در سرعت‌های مختلف باد و به مدت زمان ۳۰ دقیقه صورت گرفت. آزمایش‌های اول و دوم با سرعت باد در مقطع خروجی به ترتیب $3,3$ و 5 متر بر ثانیه انجام گرفتند. در این دو آزمایش که سرعت‌های باد در آنها کمتر بود، چیدمان ظروف به گونه‌یی بود که تا فاصله‌ی حدود ۳ متری از مرکز پشته ذرات پراکنده شده جمع‌آوری شدند.

در سرعت‌های ۷ و 11 m/s تفاوت استفاده شد. همچنین پشته در فاصله‌ی کمتری نسبت به خروجی کانال قرار گرفت و با تغییر در چیدمان ظروف، امکان شکار ذرات در فاصله‌ی بیشتر از ۵ متر نیز فراهم آمد.

۶.۲ درصد رطوبت

با افزودن آب و ایجاد رطوبت یکنواخت بر سطح پشته، تأثیر درصد رطوبت‌های مختلف در کاهش میزان بادبرده‌گی ذرات در بیشینه‌ی سرعت (11 m/s) مورد بررسی قرار گرفت. با توجه به این که در تمامی آزمایش‌های بادبرده‌گی انجام گرفته هسته‌ی مرکزی پشته تحت تأثیر قرار نمی‌گرفت، پشته‌یی با شبکه کناره مشابه حالات قبل و ارتفاع $3/5$ سانتی‌متر ساخته شده و ارتفاع $1/5$ سانتی‌متر باقی‌مانده از پشته با قرار گرفتن پوشش نایلونی و پارچه‌یی از بخش مرکزی جدا شد. به این ترتیب با مرتبط‌سازی سطح پوشش، امکان نفوذ آب به هسته وجود نداشت. مرتبط‌سازی پشته با پاشش آب از طریق آب پاش با وزن اولیه و ثانویه معلوم

می‌یابند. در این بین برخی ذرات که در آزمایش با سرعت کمتر از جا بلند نشده‌اند، ممکن است با افزوده شدن سرعت باد از جا کنده شوند. بدین ترتیب این ذرات که بزرگ‌تر از سایر ذرات بادبرده‌اند، در فاصله‌ی کمی نسبت به پشتی به میز می‌رسند. چنان که پیش‌تر نیز گفته شد، این ذرات با وجود تعداد کم‌شان، در زیادشدن جرم ذرات بادبرده در آن فاصله بسیار مؤثرند. بنابراین با وجود انتقال نمودار به سمت راست در این $\frac{4}{3}$ آزمایش (افزایش جرم ذرات بادبرده) نظر در فواصل بیشتر از مرکز پشتی شاهد این ادعاست)، به علت گفته شده در فوق، ممکن است در بخش سمت چپ نمودار که نمایان‌گر فواصل کمتر نسبت به پشتی است، جرم بادبرده افزایش یابد. اگرچه این توضیح می‌تواند دلیلی برای افزایش جرم بادبرده در فواصل کم در آزمایش دوم باشد، ولی به دلیل اختلاف زیاد این جهش و نیز عدم مشاهده این روند در آزمایش‌های بعدی، به نظر می‌رسد که خطابی در این آزمایش وجود داشته است. این خطأ احتمالاً ناشی از بازشدن کامل دریچه‌ی ورودی فن در این آزمایش برای تأمین سرعت باد ۵ متربرثانیه، و ایجاد نوعی آشفتگی در جریان است که نهایتاً بر حركت ذرات در فواصل کم تأثیر گذاشته و آنها را در فاصله‌ی بیشتر از مقدار پیش‌بینی شده به سطح میز رسانده است.

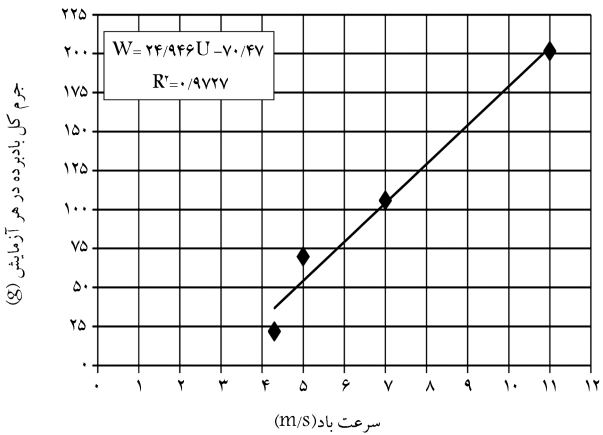
۲.۳. اندازه ذرات

با کمک عکس‌های تهیه شده از ذرات در فواصل مختلف از پشتی و در هر آزمایش، می‌توان مقداری مشخص را برای قطر ذرات نشان داده شده به دست آورد. به این ترتیب نمودارهای جداگانه‌ی برای هر آزمایش از قطر ذرات با توجه به فاصله از مرکز پشتی حاصل می‌شود که در نمودارهای نیمه‌لگاریتمی با مسافت طی شده‌ی ذرات که از رابطه‌ی ون‌کارمن به دست می‌آید، مقایسه شده‌اند. (شکل ۵)

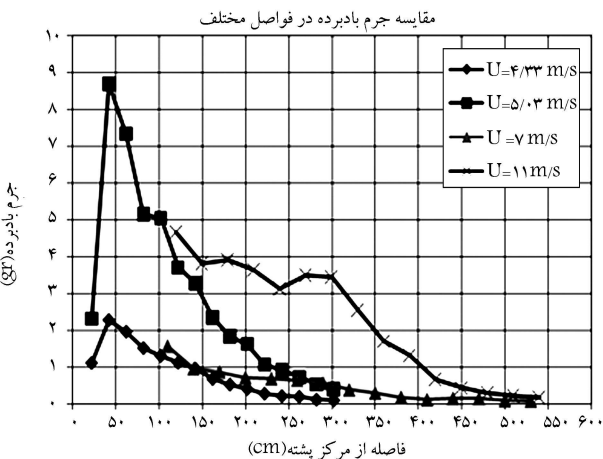
چنان که پیش‌تر نیز اشاره شد، نمودارهای اندازه‌ی ذرات در مقابل مسافت جابه‌جا شده در اشکال نشان داده شده تابعی توانی اند. در رابطه‌ی ون‌کارمن، فاصله‌ی طی شده با d^3 ارتباطی معکوس دارد، اما نتایج آزمایشات این تحقیق در این مسافت، با پیش‌بینی رابطه‌ی ون‌کارمن اختلاف زیادی دارد که علت آن، تفاوت در طبیعت وزش باد در دو حالت واقعی و تجربی است. در حالت واقعی باد به صورت پیوسته ذره را همراهی می‌کند ولی در آزمایش انجام‌گرفته تنش وارد از طرف باد بر ذرات با دورتر شدن آنها کاهش می‌یابد. همچنین درمورد رابطه‌ی ون‌کارمن باید به این نکته توجه داشت که در استفاده از رابطه‌ی مذکور باید فرضیات استوکس صادق باشند.^[۲] در این پروژه برخی از این فرضیات که او هم‌ترین آنها می‌توان به کروی‌بودن ذرات اشاره کرد، برقرار نیستند.

بدیهی است با افزایش سرعت جریان از آزمایش اول به چهارم، مسافت طی شده‌ی هر ذره با قطر مشخص بیشتر خواهد شد. این مطلب درمورد ذرات بزرگ‌تر کاملاً مشهود است به طوری که ذره‌ی با قطر $75 \mu\text{m}$ میکرومتر به ترتیب در فواصل $121/2$ ، $128/3$ ، $127/5$ و $115/7$ سانتی‌متر به سطح رسیده است.

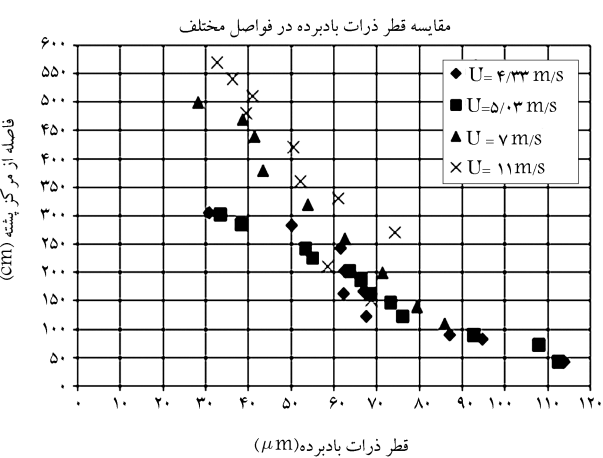
اما درمورد ذرات کوچک‌تر از $50 \mu\text{m}$ در این قاعده ناهمگونی‌هایی دیده می‌شود که احتمالاً به دلیل بروز یابی صورت‌گرفته و فقدان اطلاعات جمع‌آوری شده‌ی مستقیم از نمونه‌های است. به عنوان مثال، مسافت طی شده‌ی ذره‌ی با قطر $20 \mu\text{m}$ در آزمایش اول $927/7 \text{ cm}$ است و در آزمایش دوم که انتظار می‌رود مقدار بیشتری داشته باشد، به $907/5 \text{ cm}$ رسیده است. هرچند همان‌طور که گفته شد، احتمالاً جریان در آزمایش دوم آشفتگی بیشتری داشته است که به بروز ناهمگونی‌هایی در خروجی‌های آن انجامیده است.



شکل ۲. نمودار جرم کل ذرات بادبرده در سرعت بادهای مختلف.



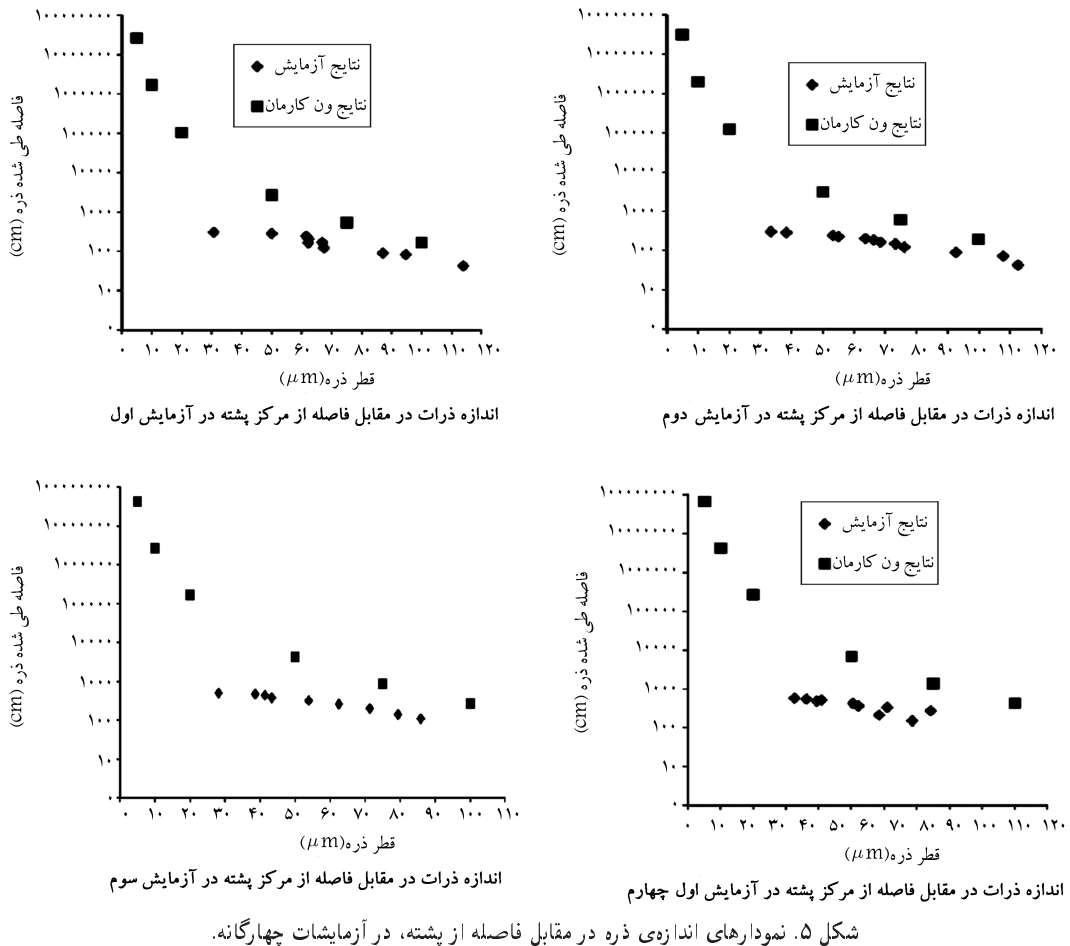
شکل ۳. جرم ذرات جابه‌جا شده در فاصله‌های مختلف آزمایشات انجام شده.



شکل ۴. قطر ذرات جابه‌جا شده در فاصله‌های مختلف آزمایشات انجام شده.

در فاصله‌های کم‌تر، بیشتر از ذرات قرار گرفته در مسافت‌های دور خواهد بود.^[۱] افزایش جرم برایر فاصله، برای بادهای با سرعت $4/3$ و 5 متر بر ثانیه، بیان گر این نکته است که برای به سطح رسیدن بزرگ‌ترین ذرات پشتی کمینه فاصله‌ی مورد نیاز حدود 40 سانتی‌متر است.

به طور کلی با افزایش سرعت، نمودارهای رسم شده به سمت راست انتقال



شکل ۵. نمودارهای اندازه ذره در مقابل فاصله از پشتہ، در آزمایشات چهارگانه.

که در آن p بحسب گرم بر مترمربع (gr/m^2)، سطح جانبی پشتہ و سرعت ها بر حسب متر بر ثانیه (m/s) هستند. به این ترتیب می توان میران ذرات منتشره در دورهی زمانی نیم ساعته را در تمامی سرعت های مورد نظر باد به دست آورد.

۴. شعاع تأثیر ذرات
با استفاده از نتایج به دست آمده می توان فاصلهی متوسط طی شده توسط هر ذره را در آزمایشات چهارگانه در قالب جدول ۲ خلاصه کرد. (شکل ۶)
از نتایج این جدول می توان دریافت که مسافت طی شدهی کلیهی ذرات با افزایش سرعت باد زیاد می شود. اما رابطهی ون کارمن نشان می دهد که این ارتباط خطی است، و بهمان نسبت افزایش سرعت باد فاصلهی طی شدن ذرات نیز بیشتر می شود. به عبارت دیگر برای بررسی درستی رابطهی زون کارمن، باید کلیهی نمودارهای فوق (در شرایط آزمایش یکسان)، به صورت خط راست باشند که این مطلب با استثناء ذرهی $5\mu m$ ، در سایر موارد کم و بیش قابل استنباط است.
چنان که رابطهی مذکور نشان می دهد، طول پیموده شده -- علاوه بر سرعت و اندازهی ذره -- به چگالی نسبی ذرات و گران روی جریان نیز ارتباط دارد؛ از آنجا که این چهار آزمایش در شرایط دمایی مختلفی انجام گرفته اند، این دو مقدار در هر مورد متفاوت اند. پس شکستگی های دیده شده در نمودارها را می توان ناشی از همین یکسان نبودن چگالی و گران روی دانست. همچنین در مورد استفاده از رابطهی

۳.۳. ضریب انتشار^۹

برای به دست آوردن ضریب انتشار ذره از سرعت اصطکاکی و سرعت اصطکاکی آستانه استفاده می شود. در تعریف ضریب انتشار (EF) گفته شده که «قدرای مشخص است برای مرتبط کردن مقدار آلاینده رهاشده به اتسفر بر اثر فعالیت یا فرایندی که آن آلاینده را ایجاد می کند». [۱]

در این تحقیق می توان ضریب انتشار برای پشتہ را به صورت مقدار جرم ذرات بادبرده بر واحد سطح، و البتہ در مدت زمان نیم ساعت از بادبردگی تعریف کرد. EPA تابع پتانسیل بادبردگی برای سطح خشک و در معرض باد را چنین پیشنهاد کرده است: [۱۲۵۸۱]

$$P = 58(u^* - u_t^*)^2 + 25(u^* - u_t^*)$$

که در آن u^* سرعت اصطکاکی، و u_t^* سرعت اصطکاکی آستانه است. بر این اساس تابع پتانسیل بادبردگی را باید تابعی درجه ۲ از تفاضل سرعت اصطکاکی و سرعت اصطکاکی آستانه در نظر گرفت، و درصورت رسم نمودار ضریب انتشار در مقابل تفاضل این دو سرعت می توان به رابطهی ضریب انتشار در این تحقیق رسید. با محاسبهی مساحت جانبی در معرض باد پشتہ و با در نظر گرفتن جرم کل ذرات بادبرده در هر آزمایش، تابع پتانسیل بادبردگی در این پروژه عبارت خواهد بود از:

$$P = 180/13(u^* - u_t^*)^2 + 682/68(u^* - u_t^*)$$

جدول ۳. فاصله‌ی ذرات ۱۰۰، ۷۵، ۵۰، ۲۰ و ۱۰ μm از مرکز در سرعت‌های مختلف.

PM-۵	PM-۱۰	PM-۲۰	PM-۵۰	PM-۷۵	PM-۱۰۰	سرعت (m/s)
۷۸۴۴/۸	۲۶۹۷/۷	۹۲۷/۷۱	۲۲۶/۲	۱۲۱/۲	۷۷/۸	۴/۳۳
۷۰۶۱/۶	۲۵۳۱/۵	۹۰۷/۵	۲۳۳/۸	۱۲۸/۳	۸۳/۸	۵/۰۳
۷۴۵۱/۹	۲۸۶۳/۱	۱۱۰۰/۱	۳۱۰/۶	۱۷۷/۵	۱۱۹/۴	۷
۸۱۵۴/۹	۳۱۹۹/۱	۱۲۵۵	۳۶۴/۳	۲۱۰/۷	۱۴۲/۹	۱۱

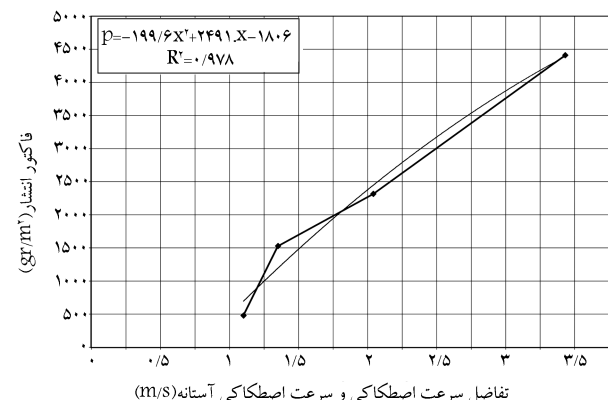
جدول ۴. بادبردگی ذرات در حالت مرطوب شدن سطح (کلیه اوزان به گرم).

وزن ذرات بادبرده مرطوب	وزن کل رویه پس از بادبردگی	وزن کل رویه ۱/۵ cm	درصد رطوبت
۴۷/۰۸۶	۸۹۱/۲۹۷	۹۳۸/۳۸۳	۱۰
۸۳/۲۱۵	۷۴۶/۱۳۶	۸۲۹/۳۵۱	۴
۱۰۷/۶۶۵	۶۹۵/۲۹۷	۸۰۲/۹۶۲	۲

اضافه شده است. به تعبیر دیگر جرم خالص هدررفته ذرات پشته براثر بادبردگی، از ۵۰ گرم نیز کمتر است. در پایان آزمایش افزایش رطوبت سطح پشته می‌توان چنین نتیجه گرفت که در صورت مرطوب‌سازی سطح پشته به میزان ۱۰٪، میزان بادبردگی ذرات در مدت نیم ساعت از حدود ۲۰۲ گرم به ۴۴ گرم کاهش خواهد یافت. (جدول ۴)

۶. نتیجه‌گیری

- تابع پتانسیل بادبردگی و ضریب انتشار ذرات در این تحقیق عبارت است از:
$$P = ۱۸۰/۱۳(u^* - u_t^*)^2 ۶۸۲/۶۸(u^* - u_t^*)$$
- مسافت طی شده توسط ذره‌ی به قطر ۷۵ میکرومتر در دو حالت نظری و تجربی مطابقت دارد، اما نتایج آزمایش در سایر اندازه‌ها به روابط کلاسیک نزدیک نیست.
- به طور کلی نتایج آزمایشات انجام شده برای ذرات خارج از محدوده توزع دانه‌بندی ذرات (ذرات کوچک‌تر از ۱۰ PM-۱۰) قابل استناد نیست و منطقی به نظر نمی‌رسند.
- میزان بادبردگی کل ذرات با سرعت وزش باد ارتباط نسبتاً خطی دارد.
- مسافت طی شده توسط ذرات با سرعت باد به صورت خطی افزایش می‌یابد.
- با توجه به نتایج به دست آمده از این آزمایش‌ها، می‌توان سیستمی شبیه به تونل Bad و Set-Up موجود ایجاد کرده و ذرات سنگ آهن را با کمک آن دانه‌بندی کرد.
- مرطوب‌سازی سطح پشته‌ها به منظور کاهش میزان بادبردگی بسیار مؤثر است، به طوری‌که افزودن ۱۰ درصدی رطوبت به سطح پشته می‌تواند میزان بادبردگی ذرات را تا ۷۸٪ کاهش دهد. همچنین در صورت ایجاد رطوبت ۲٪، بادبردگی تا حدود ۴۵٪ کمتر خواهد شد.



تفاضل سرعت اصطکاکی و سرعت اصطکاکی آستانه (m/s)
شکل ۶. شکل.تابع پتانسیل بادبردگی ذرات.

ونکارمن باید به این نکته توجه کرد که این رابطه برای ذرات کروی و ذرات حائز شرايط قانون استوکس صادق است که بالطبع ذرات مورد آزمایش پشته از آن برخوردار نیستند و در تصاویر SEM تهیه شده نیز ساختار پولکی ذرات مشهودتر بود. در ادامه با تعیین چگالی و گرانروی جریان هوا در هر آزمایش، ضمن محاسبه‌ی این مسافت طی شده برای هر قطر ذره، نتیجه‌ی رابطه‌ی نظری ونکارمن و آزمایش‌های انجام‌گرفته‌ی فوق مورد مقایسه قرار گرفت. مقایسه‌ی جواب‌های به دست آمده از رابطه‌ی ونکارمن با نتایج آزمایش نشان می‌دهد که تنها ذره دارای قطر ۷۵ میکرون این دو رویکرد با یکدیگر مشابه‌ی دارند اما در مورد ذرات بزرگ‌تر از این اندازه، اعداد حاصل از آزمایش بیشتر است و بر عکس برای ذرات کوچک‌تر از آن، رابطه‌ی نظری مسافت طی شده ذرات را دورتر به دست می‌آورد.

با توجه به پارامترهای مورد استفاده در رابطه‌ی ونکارمن، دلیلی برای وجود تناقض در دو حالت طبیعی و آزمایشگاهی وجود ندارد و فقط ممکن است مقدار ضریب E با آنچه در محاسبات فوق به دست آمد، متفاوت باشد. همان‌طور که گفته شد، مقدار E بین $۱۰^۵$ تا $۱۰^۶$ سانتی‌متر بر ثانیه در نظر گرفته می‌شود که در اینجا کمترین مقدار آن فرض شده است. بنابراین می‌توان اختلاف موجود را چنین توجیه کرد که بادی که در طبیعت می‌وزد، برخلاف باد ایجاد شده در آزمایشگاه قادر حالت ساکن در یک منبع است و به عملت اختلاف فشار بین دو منطقه، ذره را تا فاصله‌ی زیادی همراهی می‌کند، ولی در آزمایشگاه، باد از منبعی نقطه‌ی شروع به وزیدن می‌کند و تدريجی اثر آن بر ذره از بین می‌رود. به عبارت دیگر مقایسه‌ی فوق تنها می‌تواند در مورد نسبت تغییر سرعت باد و تغییر مسافت نظری آن در دو حالت قابل استفاده باشد. به عنوان مثال برای ذره‌ی به قطر ۱۰ میکرومتر در دو حالت وزش باد با سرعت‌های ۷ و ۱۱ متر بر ثانیه، در دو وضعیت نظری و تجربی، می‌توان نوشت:

$$\frac{u}{u} = \frac{۷ \frac{\text{m}}{\text{s}}}{۱۱ \frac{\text{m}}{\text{s}}} \rightarrow \frac{l}{l} = \frac{۵۲۱۹/۴۵ \text{m}}{۸۱۳۳/۵۲ \text{m}} = ۰/۶۴ \quad \text{حالت نظری}$$

$$\frac{u}{u} = \frac{۷ \frac{\text{m}}{\text{s}}}{۱۱ \frac{\text{m}}{\text{s}}} \rightarrow \frac{l}{l} = \frac{۲۸۶۳/۱ \text{m}}{۳۱۹۹/۱ \text{m}} = ۰/۸۹ \quad \text{حالت تجربی}$$

۵. اثر مرطوب‌سازی پشته
مطابق جدول ۳، جرم ذرات بادبرده در حالت ایجاد رطوبت ۱۰٪ بر سطح پشته و در سرعت ۱۱ متر بر ثانیه حدود ۵۰ گرم است که شامل وزن ذرات بادبرده و رطوبت

پابلوشت

1. creep
2. saltation
3. suspension
4. conical
5. oval
6. X-ray fluorescence
7. scanning electron microscopy (SEM)
8. transmission electron microscopy (TEM)
9. emission factor

منابع

1. Mansell, G.E., *Determining Fugitive Dust Emissions from Wind Erosion*, ENVIRON International Corporation (March 2004).
2. Leow, W.W. and Liang, L.C., *Atmospheric Boundary Layer Wind Tunnel Design*, TEC Group in the University of Adelaide, Australia (2005).
3. MacDougall, C.R., *Empirical Method for Determining Fugitive Dust Emissions*, Clark County Department of Air Quality Management, Las Vegas, US, (2002).
4. Vanoni, Vito A. "Sedimentation engineering", ASCE Manuals and Reports (54) (2006).
5. Greeley, R. and Iversen, J.D. "Wind tunnel studies of martian aeolian processes", *NASA Technical Memorandum, NASA TM X-62*, **297** (May 1973).
6. Torano, J.A., Rodriguez, R., Diego, I., Rivas, J.M. and Pelegry, A. "Influence of the pile shape on wind erosion CFD emission simulation", *Applied Mathematical modelling*, 31, pp.2487-2502.
7. Badr, T. and Jean, L.H. "Effect of aggregate storage piles configuration on dust emissions", *Atmospheric Environment Journal*, (2006).
8. Kardous, M.; Bergametti, G. and Marticorena, B. "Aerodynamic roughness length related to tillage ridges", *Annales Geophysicae*, **23**, pp. 3187-3193 (2005).
9. EPA, AP-42 Fugitive Dust Emission Factor. "Chapter 13: Miscellaneous sources".
10. Roney, J.A. and Bruce, R.W., *Estimating Fugitive Dust Emissions*, 1st Edition, National Pollutant Inventory, Australia (December 1999).
11. Sinclair Knight Merz Group, *Improvement of NPI Fugitive Particulate Matter Emission Estimation Techniques*, (May 2005).
12. Countess Environmental 4001Whitesail Circle, "WRAP fugitive dust handbook", West lake Village CA 91361 (September 2006).